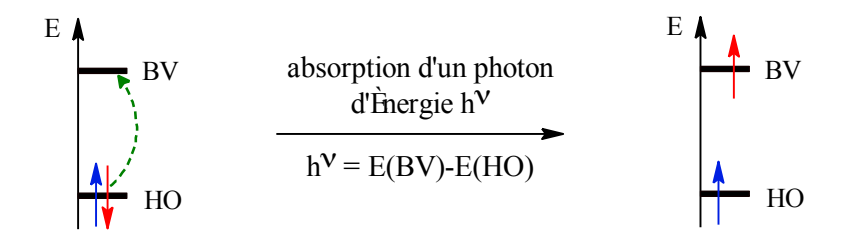
Lycée Saint-Louis PC-PC\*

# TP 4 : Étude du bleu de bromophénol - Correction

### Q1. Quel type de transition est provoqué par irradiation UV-Visible ?

Lors de l'irradiation UV-visible, l'absorption d'un photon d'énergie hv permet de promouvoir un électron de l'orbitale la plus haute occupée HO vers l'orbitale la plus basse vacante BV :



En supposant que l'énergie totale associée aux électrons est la simple somme des énergies de chaque électron,

$$hv = \frac{hc}{\lambda_{max}} = E(BV) - E(HO)$$

où  $\lambda_{max}$  est la longueur d'onde correspondant au maximum d'absorption.

#### Q2. Comment interpréter l'effet bathochrome lié à une forte délocalisation électronique ?

En l'absence de délocalisation électronique, l'absorption se fait couramment dans l'ultra-violet.

En cas de délocalisation électronique, l'absorption évolue vers le rouge (effet bathochrome) : autrement dit, la longueur d'onde  $\lambda_{max}$  augmente, et ce d'autant plus que la délocalisation est importante.

La différence d'énergie entre l'orbitale la plus haute occupée HO et la plus basse vacante BV est donc d'autant plus petite que la délocalisation électronique est importante.

En cas de forte délocalisation électronique, la longueur d'onde  $\lambda_{max}$  peut appartenir au visible : la substance est alors colorée et apparaît de la **couleur complémentaire à la couleur absorbée**. Ainsi la molécule de  $\beta$ -carotène qui absorbe le bleu est responsable de la couleur orange des carottes.

Nom	Structure	$\lambda_{max} (nm)$
Ethène (éthylène)		171
1,3-butadiène		217
(E)-1,3,5-hexatriène		268
(E,E)-1,3,5,7- octatétraène		330
Benzène		255
Naphtalène		314
Anthracène		380
eta-carotène	β-carotène	452

## 1 Détermination du pK<sub>A</sub> du couple BBPH<sup>-</sup>/BBP<sup>2-</sup>

## 1.1 Compte-rendu

#### 1.1.1 Introduction

Q3. Comment choisir la solution à utiliser pour mesurer un « blanc » ? En déduire la composition des solutions à utiliser pour faire le zéro des solutions 1 à 7.

Pour faire le blanc, il faut choisir la même solution que celle que l'on veut analyser à ceci près qu'elle ne doit pas contenir l'espèce que l'on veut étudier (ici le bromophénol BBP).

On utilise donc deux solutions  $S'_A$  et  $S'_B$  de la même façon qu'ont été préparées les solutions  $S_A$  et  $S_B$  en remplaçant les 10 mL de la solution  $S_0$  par 10 mL d'eau distillée.

On prépare alors les solutions destinées à faire le blanc en mélangeant pour chaque tube  $\bigcirc$  à  $\bigcirc$  un volume  $V(S_A)$  de solution  $S'_A$  à un volume  $V(S_B)$  de solution  $S'_B$ .

**Q4.** Rappeler l'expression de la loi de Beer-Lambert et préciser la signification et les unités des différents termes apparaissant dans cette loi. Quel(s) terme(s) dépend(ent) de la longueur d'onde ?

#### Relation de BEER-LAMBERT : $A = \varepsilon \ell c$

```
où A est l'absorbance (sans dimension et sans unité);
où \varepsilon est la coefficient d'absorption molaire de l'espèce qui absorbe (unité usuelle : L.mol^{-1}.cm^{-1});
où \ell est la largeur de la cuve (unité usuelle : cm);
où c est la concentration molaire de l'espèce qui absorbe (unité usuelle : mol.L^{-1}).
```

L'absorbance A et le coefficient d'absorption molaire  $\varepsilon$  dépendent de la longueur d'onde absorbée  $\lambda$ . Le coefficient d'absorption molaire  $\varepsilon$  et donc l'absorbance A dépendent aussi de la température et du solvant.

Si plusieurs espèces absorbent, la relation de BEER-LAMBERT est additive.

**Q5.** Pourquoi se place-t-on, lorsque l'on veut utiliser cette loi dans le cas d'une espèce unique qui absorbe, au maximum d'absorption de cette espèce ?

Dans le cas d'une espèce unique qui absorbe, on se place au maximum d'absorption car alors une variation de sa concentration se traduit par une variation maximale de l'absorbance : la mesure est alors plus sensible.

On limite aussi les incertitudes liées au fait que la lumière n'est pas rigoureusement monochromatique.

**Q6.** Établir, à une longueur d'onde  $\lambda$ , l'expression donnée ci-dessous :

$$pH = pK_A + \log\left(\frac{A(\lambda) - A_A(\lambda)}{A_B(\lambda) - A(\lambda)}\right)$$

où  $A_A$  est l'absorbance de la solution 7 et  $A_B$  celle de la solution 1.

Soient  $\varepsilon_A$  le coefficient d'absorption molaire de l'acide  $BBPH^{\ominus}$  et  $\varepsilon_B$  le coefficient d'absorption molaire de la base  $BBP^{2\ominus}$ .

La solution  $\odot$  est fortement acide et la forme acide  $BBPH^{\ominus}$  y prédomine largement.

$$A_A(\lambda) = \varepsilon_A(\lambda) \ell C_0'$$

La solution  $\odot$  est fortement basique et la forme basique  $BBP^{2\ominus}$  y prédomine largement.

$$A_B(\lambda) = \varepsilon_B(\lambda) \ell C_0'$$

Les solutions ② à ⑤ se comportent du fait du mélange d'acide éthanoïque et d'ions éthanoate comme des solutions tampon. Si le  $pK_A$  du couple  $BBPH^{\ominus}/BBP^{2\ominus}$  est proche du  $pK_A$  du couple  $CH_3CO_2H_{(aq)}/CH_3CO_{2(aq)}^{\ominus}$  (égal à 4,8 à 25°C), les solutions ② à ⑥ contiennent en proportions notables l'acide  $BBPH^{\ominus}$  et sa base conjuguée  $BBP^{2\ominus}$ . Ainsi :

$$A(\lambda) = \varepsilon_{A}(\lambda)\ell[BBPH^{\ominus}] + \varepsilon_{B}(\lambda)\ell[BBP^{2\ominus}]$$
Or,
$$C'_{0} = [BBPH^{\ominus}] + [BBP^{2\ominus}]$$
Soit
$$A(\lambda) = \varepsilon_{A}(\lambda)\ell[BBPH^{\ominus}] + \varepsilon_{B}(\lambda)\ell(C'_{0} - [BBPH^{\ominus}])$$

$$[BBPH^{\ominus}] = \frac{\varepsilon_{B}(\lambda)\ell C'_{0} - A(\lambda)}{(\varepsilon_{B}(\lambda) - \varepsilon_{A}(\lambda))\ell}$$

$$[BBPH^{\ominus}] = \frac{A_{B}(\lambda) - A(\lambda)}{(\varepsilon_{B}(\lambda) - \varepsilon_{A}(\lambda))\ell}$$
De même,
$$A(\lambda) = \varepsilon_{A}(\lambda)\ell(C'_{0} - [BBP^{2\ominus}]) + \varepsilon_{B}(\lambda)\ell[BBP^{2\ominus}]$$

$$[BBP^{2\ominus}] = \frac{A(\lambda) - \varepsilon_{A}(\lambda)\ell C'_{0}}{(\varepsilon_{B}(\lambda) - \varepsilon_{A}(\lambda))\ell}$$

$$[BBP^{2\ominus}] = \frac{A(\lambda) - A_{A}(\lambda)}{(\varepsilon_{B}(\lambda) - \varepsilon_{A}(\lambda))\ell}$$

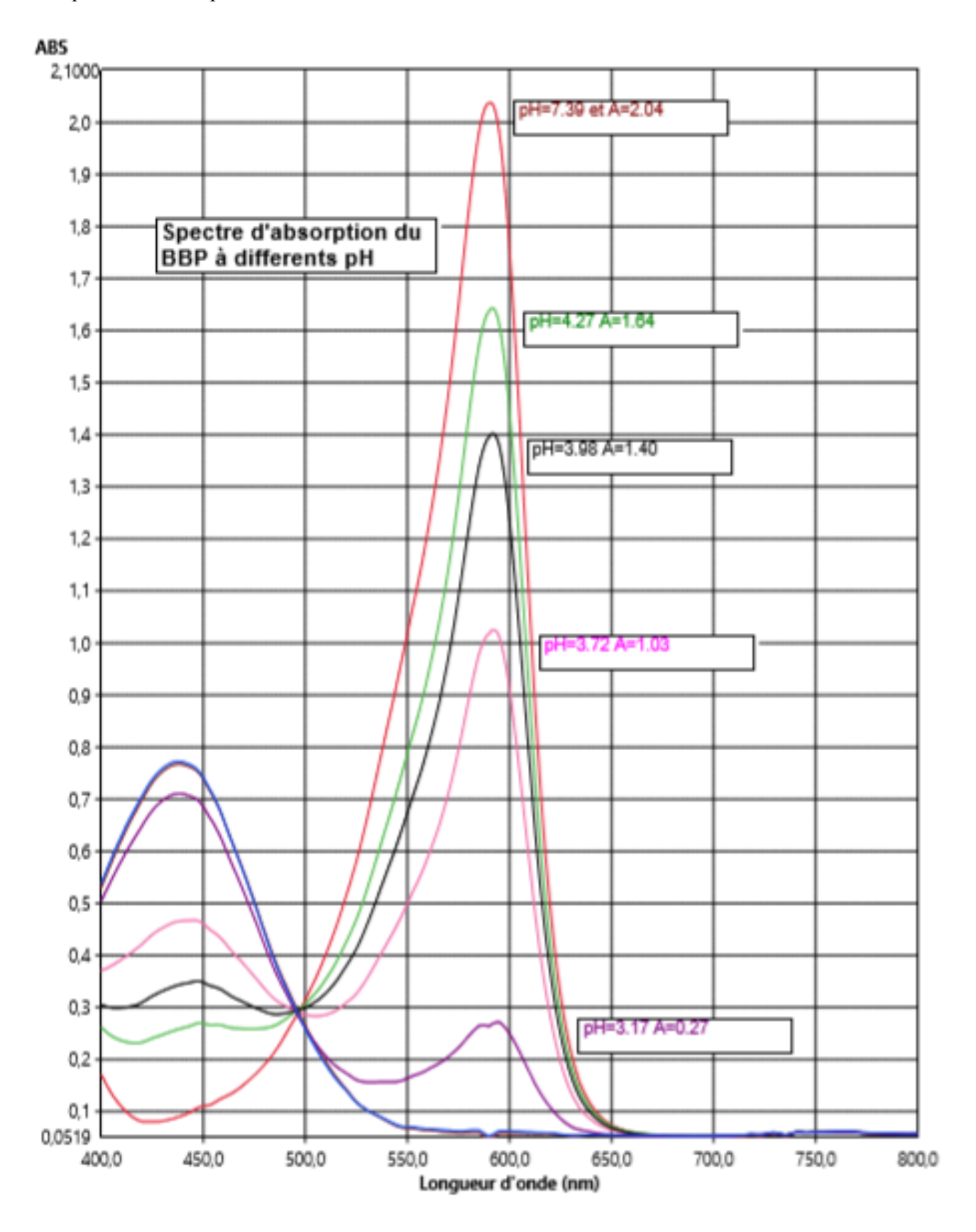
Or, d'après la relation d'HENDERSON,

$$pH = pK_A \left(BBPH^{\ominus}/BBP^{2\ominus}\right) + log\left(\frac{\left[BBP^{2\ominus}\right]}{\left[BBPH^{\ominus}\right]}\right)$$
i.e. 
$$pH = pK_A \left(BBPH^{\ominus}/BBP^{2\ominus}\right) + log\left(\frac{A(\lambda) - A_A(\lambda)}{A_B(\lambda) - A(\lambda)}\right)$$

#### 1.1.2 Résultats

**Q7.** Tracer sur le même graphe les spectres d'absorption des solutions 1, 7 et de la solution choisie.

Spectres d'absorption des solutions :



#### 1.1.3 Discussion

**Q8.** Déterminer les coefficients d'absorption molaires de  $BBPH^{\ominus}$  et  $BBP^{2\ominus}$  à 590 nm.

Soit  $C'_0$  la concentration totale en indicateur coloré, sous toutes ses formes acido-basiques, dans les solutions  $\mathbb{O}$  à  $\mathbb{O}$ .

$$C_0' = \frac{V_{PJ}}{V_{FJ}} C_0$$
 où  $\begin{cases} V_{PJ} = 10 \ mL \\ V_{FJ} = 200 \ mL \end{cases}$   $C_0' = 3. \ 10^{-5} \ mol. \ L^{-1}$ 

La solution  ${\mathbb O}$  est fortement acide et la forme acide  $BBPH^{ extstyle \ominus}$  y prédomine largement :

$$A_A(\lambda) = \varepsilon_A(\lambda)\ell C_0'$$
 soit  $\varepsilon_A(\lambda) = \frac{A_A(\lambda)}{\ell C_0'}$  avec  $C_0' = 3.10^{-5} \ mol. L^{-1}$ 

En particulier à 590 nm, 
$$\varepsilon_A(590 \text{ nm}) = \frac{A_A(590 \text{ nm})}{\ell c_0'} \approx 0 \text{ L.mol}^{-1}.\text{cm}^{-1}$$

 $A_A(590 nm)$  étant négligeable devant  $A_B(590 nm)$ , on peut considérer que la forme acide  $BBPH^{\odot}$  absorbe de façon négligeable à 590 nm.

La solution  $\odot$  est fortement basique et la forme basique  $BBP^{2\ominus}$  y prédomine largement.

$$A_B(\lambda) = \varepsilon_B(\lambda) \ell C_0'$$
 soit  $\varepsilon_B(\lambda) = \frac{A_B(\lambda)}{\ell C_0'}$  avec  $C_0' = 3.10^{-5} \text{ mol. } L^{-1}$ 

En particulier à 590 
$$nm$$
,  $\varepsilon_B(590 nm) = \frac{A_B(590 nm)}{\ell C_0'} = 6, 8. 10^4 L. mol^{-1}. cm^{-1}$ 

**Q9.** Démontrer que le point d'intersection I (point isobestique) des courbes 1 et 7 appartient aussi aux autres courbes quel que soit le pH de la solution étudiée. À quelle condition sur la constitution des solutions ce point peut-il exister ?

Soit  $\lambda_I$  la longueur d'onde du **point isobestique I**, c'est-à-dire l'abscisse du point d'intersection des courbes ① et ⑦.

$$A_A(\lambda_I) = A_B(\lambda_I)$$
 soit  $\varepsilon_A(\lambda_I)\ell C_0' = \varepsilon_B(\lambda_I)\ell C_0'$ 

et donc

$$\varepsilon_A(\lambda_I) = \varepsilon_B(\lambda_I) = \varepsilon(\lambda_I)$$

Pour une des solutions ② à ⑥

$$A(\lambda_I) = \varepsilon_A(\lambda_I) \ell [BBP^{\ominus}] + \varepsilon_B(\lambda_I) \ell [BBP^{2\ominus}]$$

$$A(\lambda_I) = \varepsilon(\lambda_I) \ell ([BBP^{\ominus}] + [BBP^{2\ominus}])$$
Or
$$C_0' = [BBP^{\ominus}] + [BBP^{2\ominus}]$$

Soit 
$$A(\lambda_I) = \varepsilon(\lambda_I) \ell C_0'$$

i.e. 
$$A(\lambda_I) = A_A(\lambda_I) = A_B(\lambda_I)$$

Tous les spectres d'absorption sont donc concourants au niveau du point isobestique.

Cela n'est le cas que parce que la concentration totale en bleu de bromophénol, sous toutes ses formes acido-basiques, est la même dans toutes les solutions ① à ②.

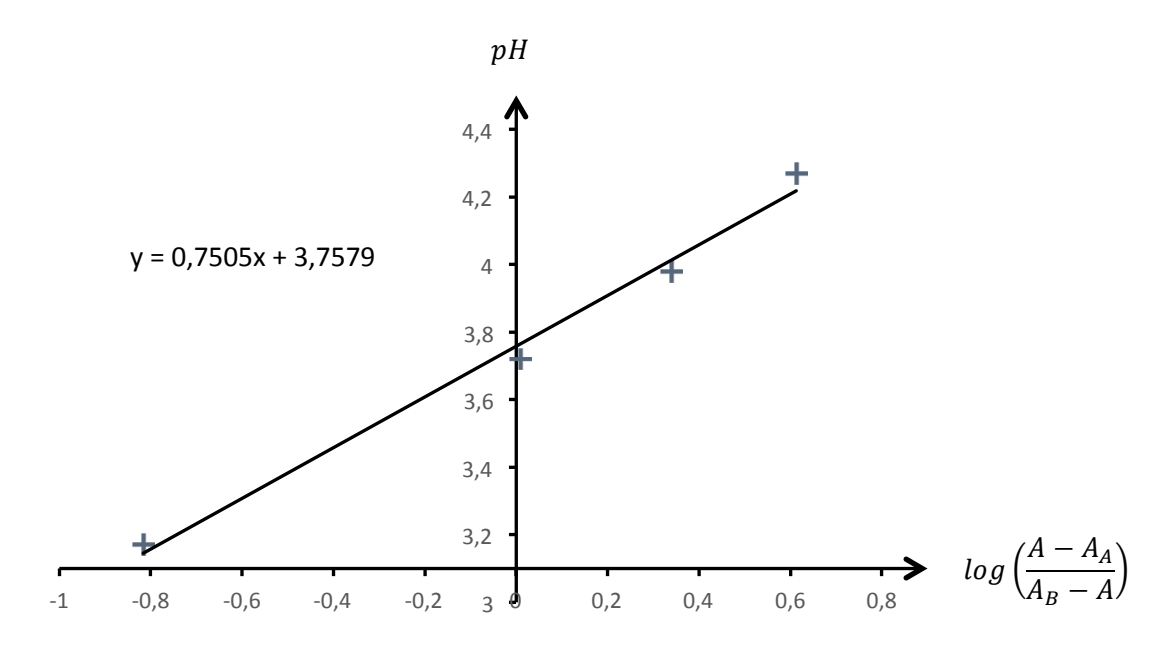
## **Q10.** Déterminer le pK<sub>A</sub> du couple BBPH<sup>-</sup>/BBP<sup>2-</sup>.

Pour déterminer le  $pK_A$  du bleu de bromophénol, on se place à la longueur d'onde  $\lambda_B^{max}$  qui correspond au maximum d'absorption de la forme basique  $BBP^{2\Theta}$ .

Tube	1	2	3	4	5	6	7
рН	7,39	4,27	3,98	3,72	3,17		
A (590 nm)	2,04	1,64	1,40	1,03	0,27	Trop faible explo	

On trace la courbe représentative du *pH* en fonction de  $log\left(\frac{A(\lambda_B^{max})-A_A(\lambda_B^{max})}{A_B(\lambda_B^{max})-A(\lambda_B^{max})}\right)$ .

On s'attend à une droite de pente égale à 1 et d'ordonnée à l'origine  $pK_A(BBPH^{\ominus}/BBP^{2\ominus})$ .



D'après la régression linéaire,

$$pK_A^{exp.}(BBPH^{\ominus}/BBP^{2\ominus}, 25^{\circ}C) = 3.8$$

La valeur tabulée est égale à :

$$pK_A^{tab.}(BBPH^{\ominus}/BBP^{2\ominus},25^{\circ}C)=4,1$$

**Remarque:** On aurait pu choisir aussi la longueur d'onde  $\lambda_A^{max}$  correspondant au maximum d'absorption de la forme acide  $BBPH^{\Theta}$ . Il ne faut surtout pas choisir la longueur d'onde du point isobestique.

Q11. Compléter le NoteBook pour déterminer l'incertitude-type du pK<sub>A</sub> du couple BBPH BBP<sup>2</sup>.

# 1. Importation des bibliothèques

```
Entrée [1]: import numpy as np
import numpy.random as rd
import matplotlib.pyplot as plt
```

## 2. Détermination du pKa du BBP

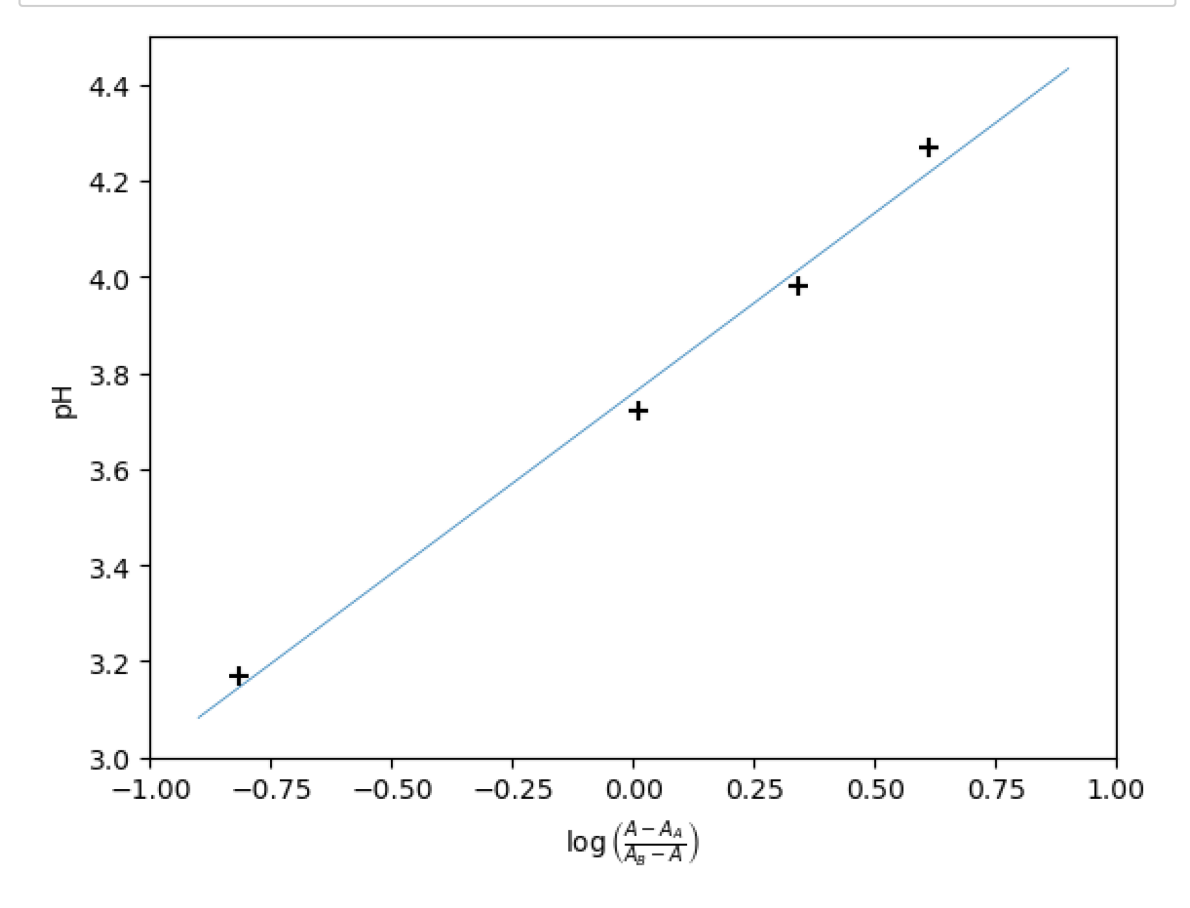
· Saisir les données expérimentales

```
Entrée [2]: pH=np.array([4.27,3.98,3.72,3.17])
A=np.array([1.64,1.40,1.03,0.27])
A_A=0
A_B=2.04
X=np.log10((A-A_A)/(A_B-A))
```

• Déterminer la pente et l'ordonnée à l'origine par régression linéaire

Pente : 0.7505028313471749 Ordonnée à l origine (pKa) : 3.757862142748732  Représenter graphiquement les points expérimentaux et tracer la droite d'ajustement des données

```
Entrée [4]: plt.clf()
    plt.scatter(X,pH,marker='+',s=50,color='black')
    plt.plot(np.linspace(-0.9,0.9,2),a*np.linspace(-0.9,0.9,2)+b,linewidth=0.5)
    plt.xlabel(r'$\log\left(\frac{A-A_A}{A_B-A}\right)$ ')
    plt.ylabel('pH')
    plt.axis([-1,1, 3, 4.5])
    plt.show()
```

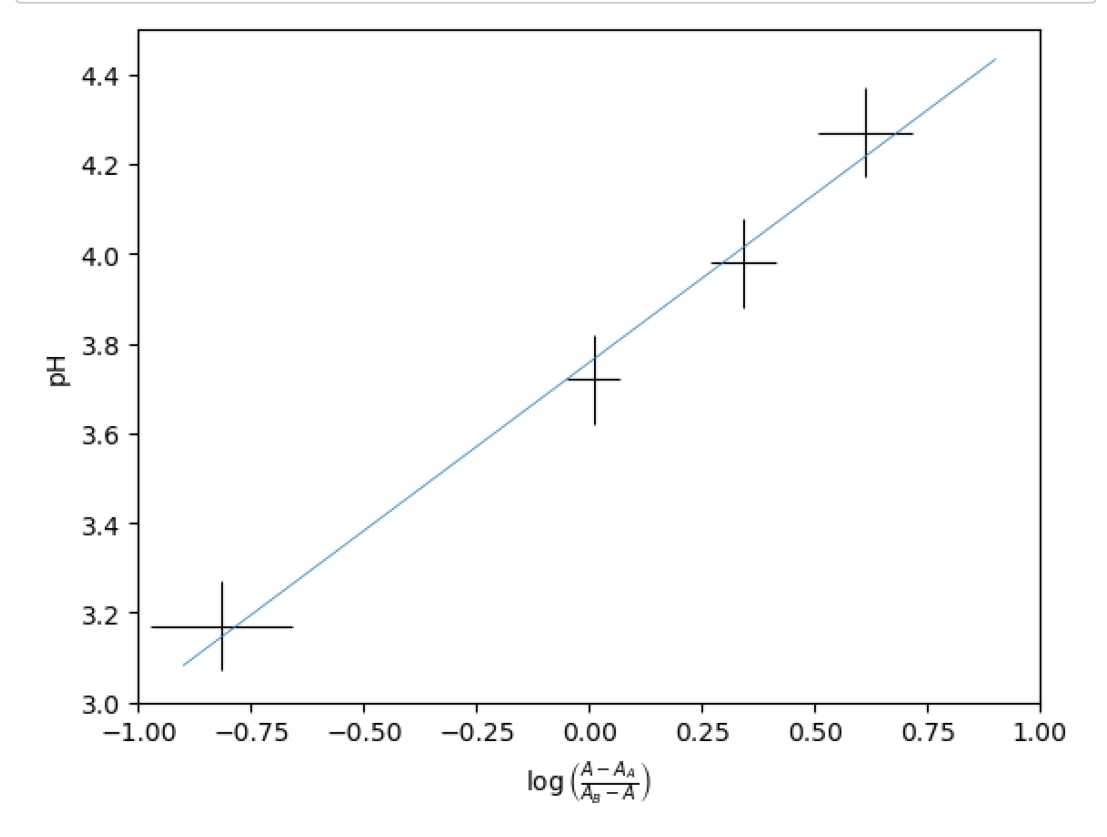


 Représenter graphiquement les points expérimentaux, leur incertitude-type ; tracer la droite d'ajustement des données

```
Entrée [5]:
            LupH=[0.1 for i in range(len(pH))]
            DA_A=0.1
            DA_B=0.1
            DA=0.1
            NbSimulations=10000
            LuX=[]
            for i in A:
                LXsim=[]
                A_Asim=np.random.uniform(A_A-DA_A,A_A+DA_A,NbSimulations)
                A_Bsim=np.random.uniform(A_B-DA_B,A_B+DA_B,NbSimulations)
                Asim=np.random.uniform(i-DA,i+DA,NbSimulations)
                Xsim=np.log10((Asim-A_Asim)/(A_Bsim-Asim))
                uX=np.std(Xsim, ddof=1)
                LuX.append(uX)
            print("Incertitude-type sur les ordonnées pH : ",LupH)
            print("Incertitude-type sur les abscisses X : ",LuX)
```

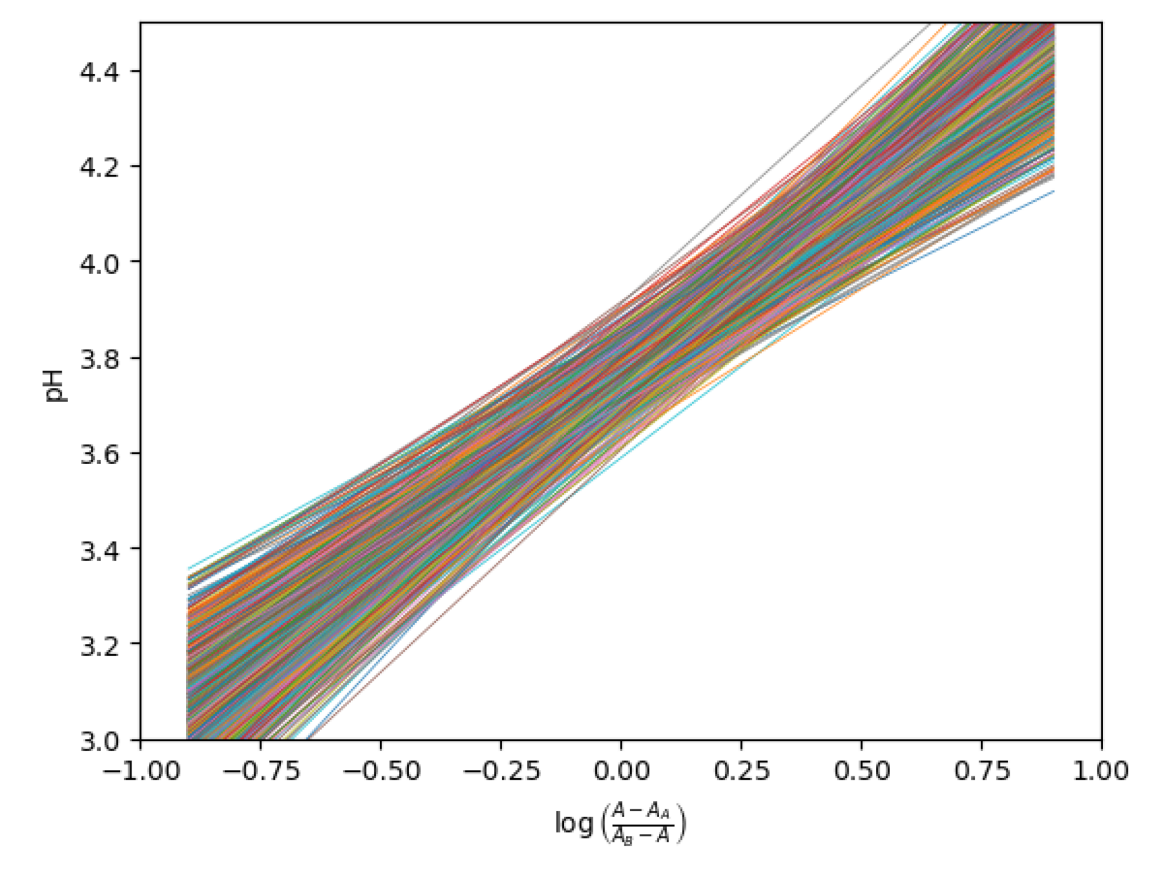
Incertitude-type sur les ordonnées pH : [0.1, 0.1, 0.1, 0.1]
Incertitude-type sur les abscisses X : [0.10498848413973244, 0.0725463211
2149681, 0.06041547927492472, 0.15722671631219368]

```
Entrée [6]: plt.clf()
    plt.errorbar(X,pH,xerr=LuX,yerr=LupH,fmt='+',color='black',markeredgewidth=@plt.plot(np.linspace(-0.9,0.9,2),a*np.linspace(-0.9,0.9,2)+b,linewidth=0.5)
    plt.xlabel(r'$\log\left(\frac{A-A_A}{A_B-A}\right)$')
    plt.ylabel('pH')
    plt.axis([-1,1, 3, 4.5])
    plt.show()
```



## • Étudier la variabilité des paramètres d'ajustement

```
Entrée [7]: NbSimulations=1000
            plt.clf()
            for k in range(NbSimulations):
                LpH=[]
                LX=[]
                for j in range(len(pH)):
                    LpH.append(np.random.normal(pH[j],LupH[j]))
                for i in range(len(X)):
                    LX.append(np.random.normal(X[i],LuX[i]))
                reglin=np.polyfit(X,LpH,1)
                plt.plot(np.linspace(-0.9,0.9,2),reglin[0]*np.linspace(-0.9,0.9,2)+regli
            plt.scatter(X,pH,marker='+',s=50,color='black')
            plt.xlabel(r'$\log\left(\frac{A-A_A}{A_B-A}\right)$ ')
            plt.ylabel('pH')
            plt.axis([-1,1, 3, 4.5])
            plt.show()
```



• Déterminer le pKA du BBP et son incertitude-type

```
Entrée [8]: NbSimulations=1000
            La=[]
            Lb=[]
            for k in range(NbSimulations):
                LpH=[]
                LX=[]
                for j in range(len(pH)):
                    LpH.append(np.random.normal(pH[j],LupH[j]))
                for i in range(len(X)):
                    LX.append(np.random.normal(X[i],LuX[i]))
                reglin=np.polyfit(LX,LpH,1)
                La.append(reglin[0])
                Lb.append(reglin[1])
            amoyen=np.average(La)
            uamoyen=np.std(La, ddof=1)
            bmoyen=np.average(Lb)
            ubmoyen=np.std(Lb, ddof=1)
            print("pente moyenne : ",amoyen)
            print("Incertitude-type de la pente : ",uamoyen)
            print("Compatibilité de la pente avec 1 : Z=",abs(amoyen-1)/uamoyen)
            print("\npKA : ",bmoyen)
            print("Incertitude-type du pKA : ",ubmoyen)
            print("Compatibilité du pKA avec sa valeur tabulée 4.1 : Z=",abs(bmoyen-4.1)
            pente moyenne : 0.7575482197310652
```

```
Incertitude-type de la pente : 0.14158082954324785

Compatibilité de la pente avec 1 : Z= 1.7124619275865627

pKA : 3.756796292606651

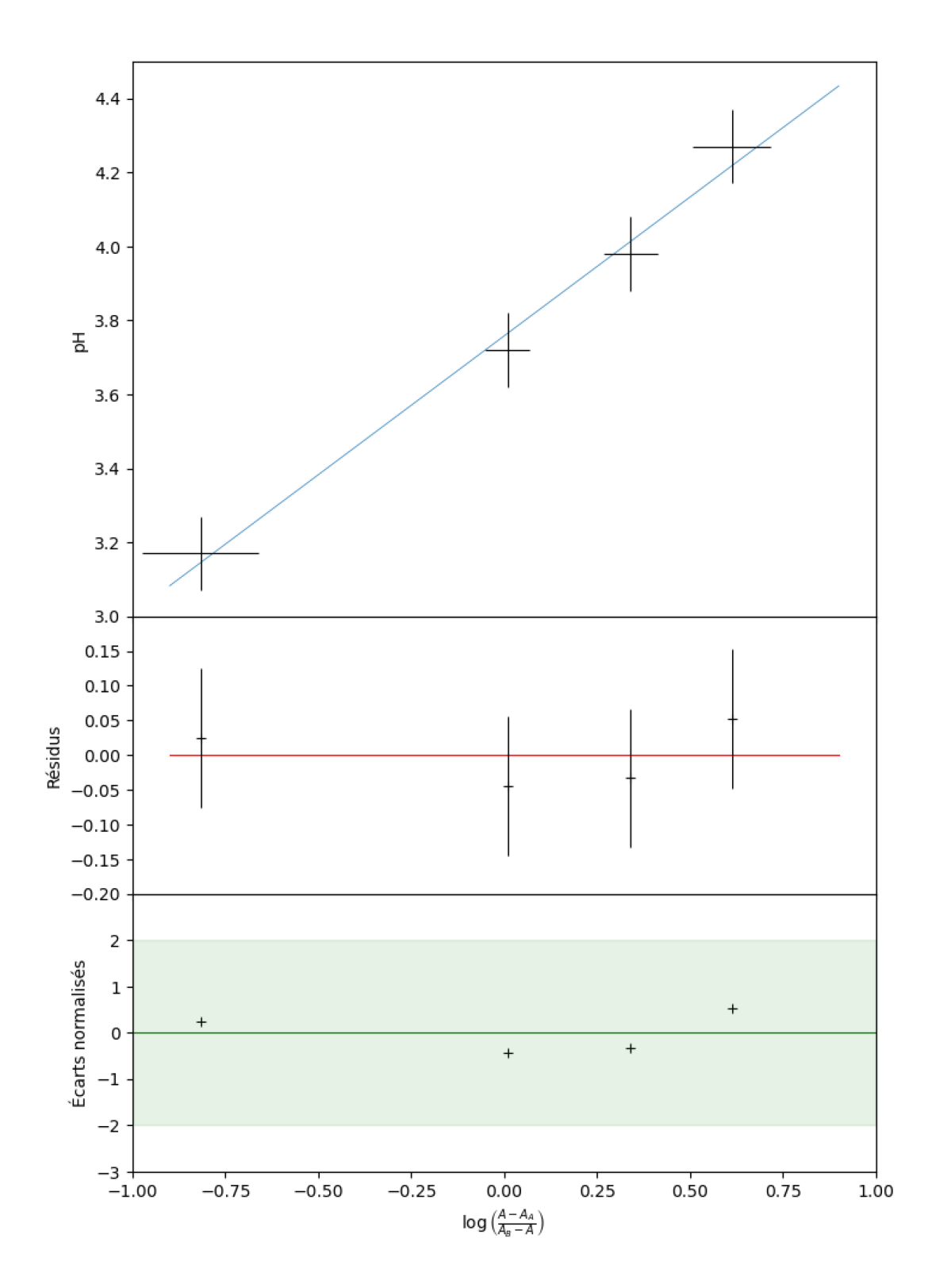
Incertitude-type du pKA : 0.06460038754943295

Compatibilité du pKA avec sa valeur tabulée 4.1 : Z= 5.312719016286478
```

• Mettre en forme ce résultat sur le compte-rendu de TP

#### • Procédure de validation

```
Entrée [9]: pHreglin=a*X+b
            residus=pH-pHreglin
            ecartsnormalises=residus/LupH
            plt.clf()
            fig,(ax1,ax2,ax3)=plt.subplots(3, 1, gridspec_kw={'height_ratios': [2, 1, 1]
            ax1.plot(np.linspace(-0.9,0.9,2),a*np.linspace(-0.9,0.9,2)+b,linewidth=0.5)
            ax1.errorbar(X,pH,xerr=LuX,yerr=LupH,fmt='+',color='black',markeredgewidth=@
            ax1.axis([-1,1, 3, 4.5])
            ax1.set_ylabel('pH')
            ax2.plot(np.linspace(-0.9,0.9,2),[0,0],linewidth=0.8,color='red')
            ax2.errorbar(X,residus,yerr=LupH,fmt='+',color='black',markeredgewidth=0.8,]
            ax2.axis([-1,1, -0.2, 0.2])
            ax2.set_ylabel('Résidus')
            ax3.scatter(X,ecartsnormalises,marker='+',color='black',linewidth=0.8)
            ax3.axis([-1,1, -3, 3])
            ax3.plot(np.linspace(-1,1,2),[0,0],linewidth=0.8,color='green')
            ax3.fill_between([-1,1],y1=-2,y2=2,color='green', alpha=0.1)
            ax3.set_xlabel(r'$\log\left(\frac{A-A_A}{A_B-A}\right)$ ')
            ax3.set_ylabel('Écarts normalisés')
            fig.subplots_adjust(hspace=0)
            plt.setp(ax1.get xticklabels(), visible=False)
            plt.setp(ax2.get_xticklabels(), visible=False)
            ax2.set_yticks(ax2.get_yticks()[:-1])
            ax3.set_yticks(ax3.get_yticks()[:-1])
            plt.show()
```



## 2 Cinétique chimique

## 2.1 Compte-rendu

#### 2.1.1 Introduction

Equation de la réaction dont on étudie la cinétique :  $BBP^{2\Theta} + HO^{\Theta} \rightleftharpoons BBPOH^{3\Theta}$ 

### Q12. Calculer les concentrations présentes à l'instant initial. Conclure.

Concentrations après mélange :

$$\begin{split} \left[BBP^{2\ominus}\right]_{0} &= a = \frac{v_{S_{0}}}{v_{S_{0}} + v_{NaOH}} C_{0} & \left[BBP^{2\ominus}\right]_{0} = 1,17.\,10^{-5}\,mol.\,L^{-1} \\ \left[HO^{\ominus}\right]_{0} &= C'_{NaOH} = \frac{v_{NaOH}}{v_{S_{0}} + v_{NaOH}} C_{NaOH} & \left[HO^{\ominus}\right]_{0} = 9,80.\,10^{-1}\,mol.\,L^{-1} \\ \left[HO^{\ominus}\right]_{0} &\gg \left[BBP^{2\ominus}\right]_{0} & \text{Dégénérescence de l'ordre} \\ v &= k_{app} \left[BBP^{2\ominus}\right]^{\alpha} & \text{où} \quad k_{app} = k_{1} \left[HO^{\ominus}\right]_{0}^{\beta} \end{split}$$

**Q13.** Comment montrer qu'un ordre partiel 1 par rapport à  $BBP^{2-}$  est compatible avec les données expérimentales ? Comment déterminer l'ordre partiel par rapport à  $HO^{-}$ ? Comment déterminer la constante cinétique  $k_1$ ?

$$v=-rac{d[BBP^{2\ominus}]}{dt}=k_{app}igl[BBP^{2\ominus}igr]^1$$
 soit  $ln\left(rac{igl[BBP^{2\ominus}igr]}{igl[BBP^{2\ominus}igr]_0}
ight)=-k_{app}t$  A 590  $nm$ , seul  $BBP^{2\ominus}$  absorbe : 
$$A=arepsilon_{BBP^{2\ominus}}\elligl[BBP^{2\ominus}igr]$$
 Soit 
$$ln\left(rac{A}{A_0}
ight)=-k_{app}t$$

Pour vérifier l'hypothèse d'un ordre partiel égal à 1 par rapport à  $BBP^{2\Theta}$ , il suffit de vérifier que la **représentation de**  $\ln\left(\frac{A}{A_0}\right)$  **en fonction du temps** est une droite qui passe par l'origine, de pente négative.

$$k_{app} = k_1 [HO^{\ominus}]_0^{\beta}$$
 soit  $ln(k_{app}) = ln(k_1) + \beta ln([HO^{\ominus}]_0)$ 

Pour trouver la valeur de  $\beta$ , il suffit de représenter  $ln(k_{app})$  en fonction de  $ln([HO^{\ominus}]_0)$ . On s'attend alors à une droite de pente  $\beta$  et d'ordonnée à l'origine  $ln(k_1)$ .

Q14. Donner l'équation différentielle vérifiée par x. Résoudre cette équation en faisant apparaître la valeur de x à l'équilibre,  $x_{\infty}$ .

	BBP <sup>2⊖</sup>	+H0⊖	$\Rightarrow BBPOH^{3\Theta}$
t = 0	а	$[HO^{\ominus}]_0$	0
t	a-x	$\approx [HO^{\ominus}]_0$	x
$t \to \infty$	$a-x_{\infty}$	$\approx [HO^{\ominus}]_0$	$x_{\infty}$

Par définition, la vitesse de la réaction est égale à :

$$v = \frac{d[BBPOH^{3\Theta}]}{dt} = \frac{dx}{dt} \tag{*}$$

La vitesse de formation de BBPOH<sup>3⊖</sup> est la vitesse à laquelle il apparaît par la réaction (1) dans le sens direct moins la vitesse à laquelle il disparaît par la réaction (2) dans le sens inverse.

$$\frac{d[BBPOH^{3\Theta}]}{dt} = v_1 - v_2 = k_{app}(a - x)^1 - k_2 x^1 \quad (**)$$

Soit, d'après (\*) et (\*\*), 
$$\frac{dx}{dt} + (k_{app} + k_2)x = k_{app}a$$

On reconnaît une équation différentielle du premier ordre avec second membre constant. Les solutions de cette équation différentielle peuvent s'écrire comme la somme des solutions de l'équation différentielle sans second membre  $x_{ssm}$  et d'une solution particulière  $x_{Part}$ .

Solution particulière :

$$x_{Part} = x_{\infty} = \frac{k_{app}}{k_{app} + k_2} a$$

Cette solution particulière correspond à la valeur vers laquelle tend x au bout d'un temps infini, à l'équilibre thermodynamique.

Solutions de l'équation sans second membre :

$$x_{ssm} = P. e^{-(k_{app} + k_2)t}$$

Soit

$$x = x_{\infty} + P. e^{-(k_{app} + k_2)t}$$

Exploitation des conditions initiales :

Le produit  $BBPOH^{3\Theta}$  n'est initialement pas présent, donc x(t=0)=0

$$x(t=0)=0$$

Soit 
$$0 = x_{\infty} + P$$
, i.e.  $P = -x_{\infty}$ ,

et 
$$x = x_{\infty} (1 - e^{-(k_{app} + k_2)t})$$

Ou encore

$$\ln\left(\frac{x_{\infty}}{x_{\infty}-x}\right) = \left(k_{app} + k_2\right)t$$

## Q15. En déduire que le tracé de :

$$\ln \frac{A_{\infty} - A_0}{A_{\infty} - A} = f(t)$$

où  $A_{\infty}$  est l'absorbance à l'équilibre et  $A_0$  l'absorbance à l'instant initial, permet d'accéder aux paramètres cinétiques de la réaction.

D'après la loi de Beer-Lambert, 
$$\begin{cases} A_0 = \varepsilon_{BBP^2\ominus} \ell a \\ A_\infty = \varepsilon_{BBP^2\ominus} \ell (a - x_\infty) \\ A = \varepsilon_{BBP^2\ominus} \ell (a - x) \end{cases}$$
 Soit 
$$\begin{cases} x_\infty = \frac{A_0 - A_\infty}{\varepsilon_{BBP^2\ominus} \ell} \\ x = \frac{A_0 - A}{\varepsilon_{BBP^2\ominus} \ell} \end{cases}$$

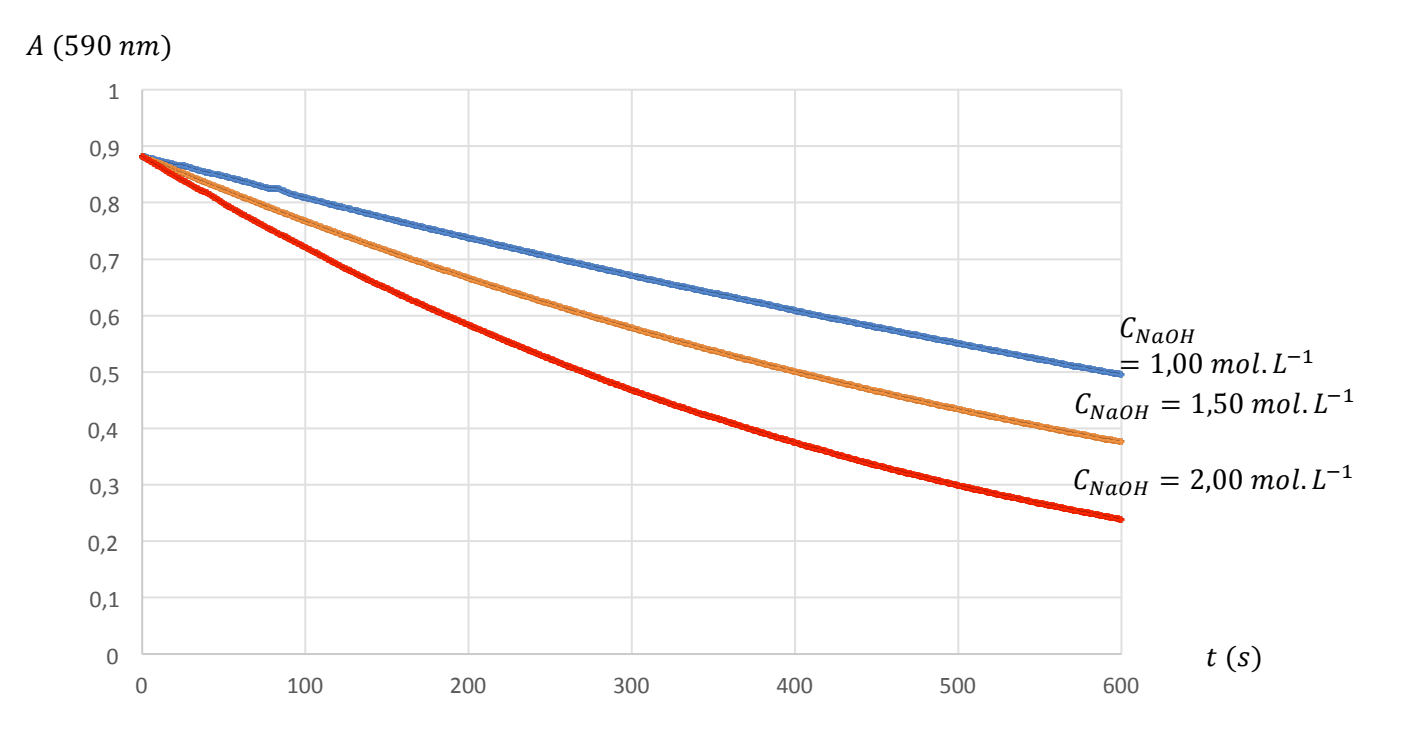
Ainsi 
$$ln\left(\frac{x_{\infty}}{x_{\infty}-x}\right) = ln\left(\frac{\frac{A_0-A_{\infty}}{\varepsilon_{BBP^2\ominus^{\ell}}}}{\frac{A_0-A_{\infty}}{\varepsilon_{BBP^2\ominus^{\ell}}}-\frac{A_0-A}{\varepsilon_{BBP^2\ominus^{\ell}}}}\right) = ln\left(\frac{A_0-A_{\infty}}{(A_0-A_{\infty})-(A_0-A)}\right) = ln\left(\frac{A_0-A_{\infty}}{A-A_{\infty}}\right)$$

Soit 
$$ln\left(\frac{A_0-A_{\infty}}{A-A_{\infty}}\right) = \left(k_{app} + k_2\right)t$$

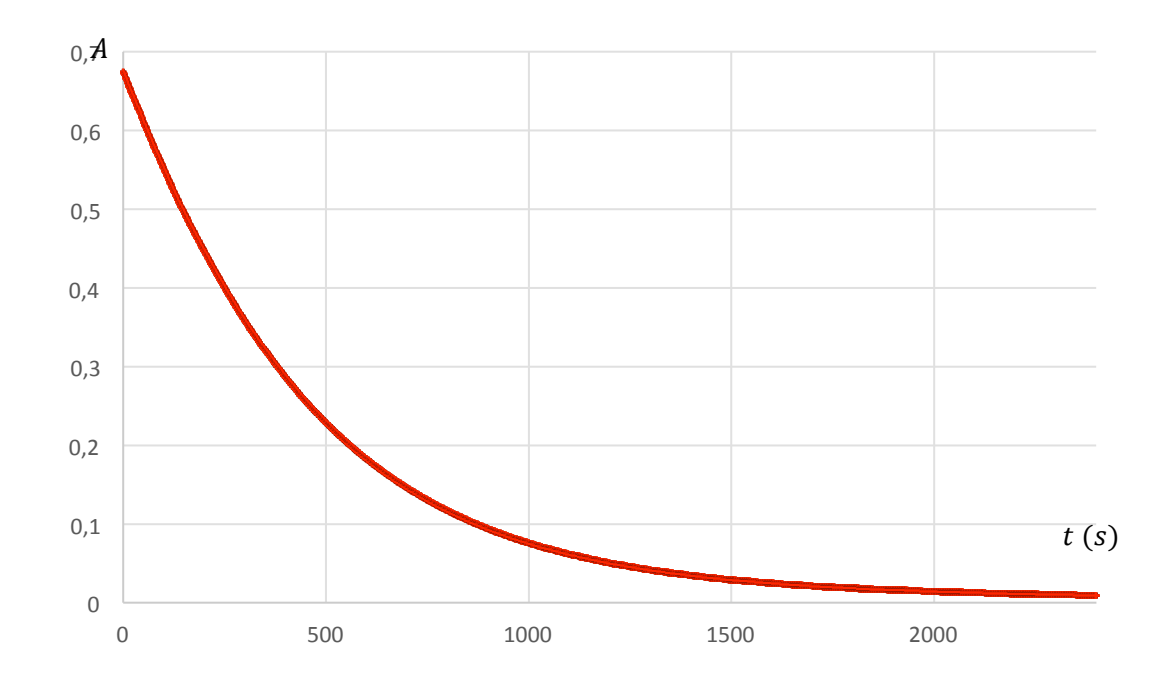
## 2.1.2 Résultats

## Q16. Donner l'allure des courbes donnant l'évolution temporelle de l'absorbance pour les expériences réalisées.

Évolution de l'absorbance au cours du temps pour plusieurs concentrations initiales en ions hydroxyde



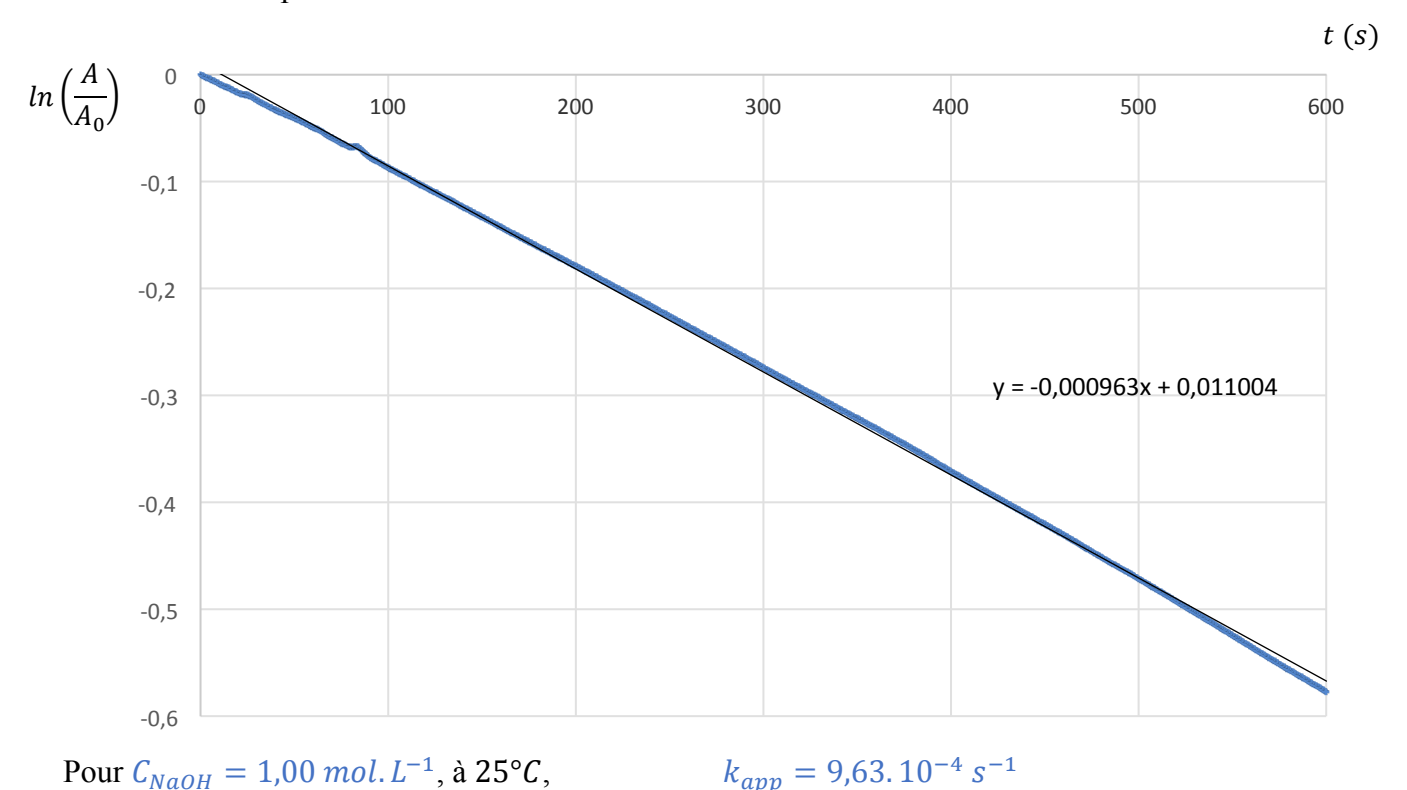
Évolution de l'absorbance au cours du temps Pour une concentration initiale en hydroxyde de sodium  $C_{NaOH} = 2,00 \ mol. \ L^{-1}$ Durée de la manipulation : 2400 s



#### 2.1.3 Discussion

**Q17.** Montrer qu'un ordre partiel 1 par rapport à  $BBP^{2-}$  est compatible avec les données expérimentales. Déterminer l'ordre partiel par rapport à  $HO^-$ . Déterminer la constante cinétique  $k_1$ .

Pour une concentration initiale en hydroxyde de sodium  $C_{NaOH} = 1,00 \ mol. \ L^{-1}$  Durée de la manipulation :  $600 \ s$ 



Pour une concentration initiale en hydroxyde de sodium  $C_{NaOH} = 1,50 \text{ mol. } L^{-1}$ 

Durée de la manipulation : 600 s

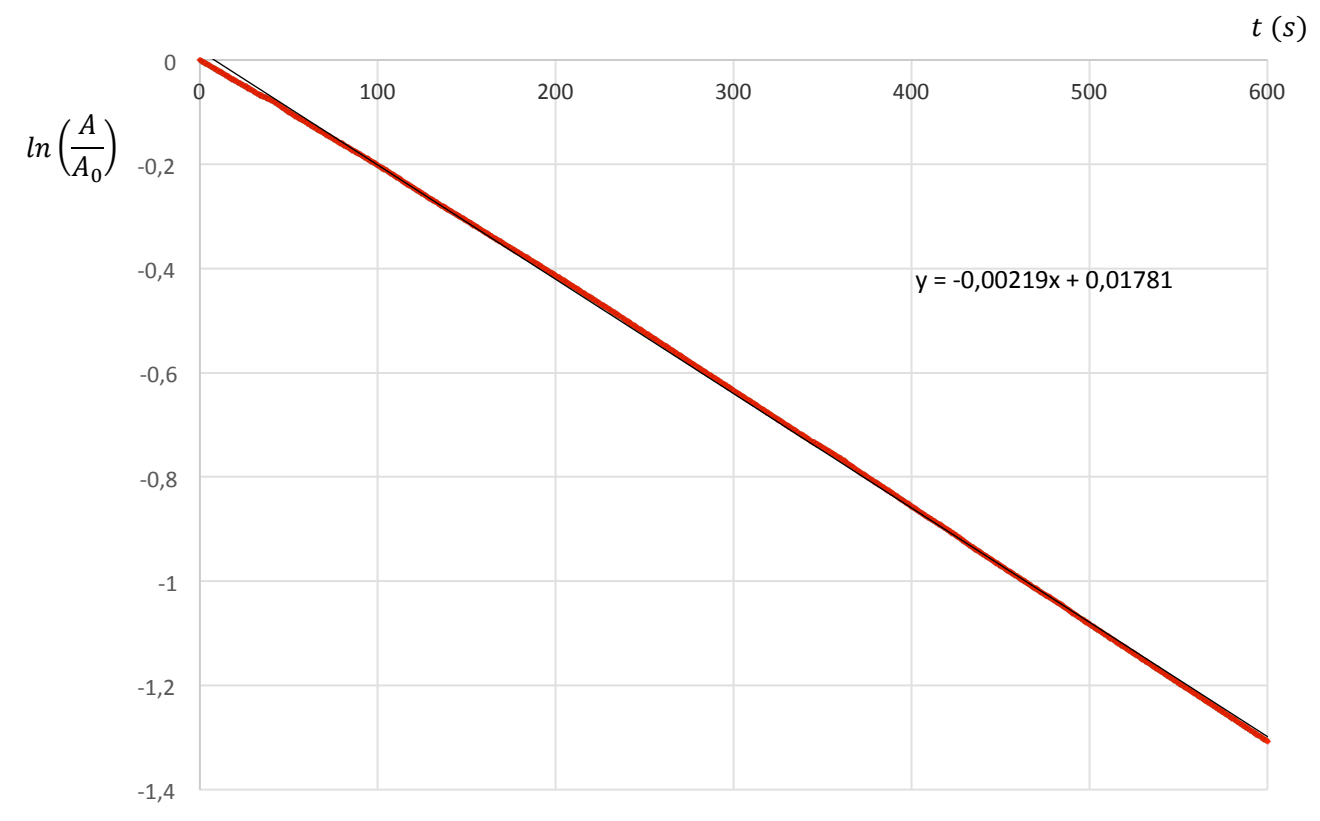
Pour  $C_{NaOH} = 1,50 \text{ mol. } L^{-1}$ , à 25°C,

t(s) $ln\left(\frac{A}{A_0}\right)$ 100 200 300 400 500 600 -0,2 -0,3 y = -0.00143x + 0.00328-0,4 -0,5 -0,6 -0,7 -0,8 -0,9

19

 $k_{app} = 1,43.10^{-3} \, s^{-1}$ 

Pour une concentration initiale en hydroxyde de sodium  $C_{NaOH}=2,00\ mol.\ L^{-1}$  Durée de la manipulation : 600 s



Pour  $C_{NaOH} = 2,00 \text{ mol. } L^{-1}$ , à 25°C,

 $k_{app} = 2,19.\,10^{-3}\,s^{-1}$ 

D'après l'allure des courbes obtenues par régression linéaire, l'hypothèse  $\alpha=1$  est validée.

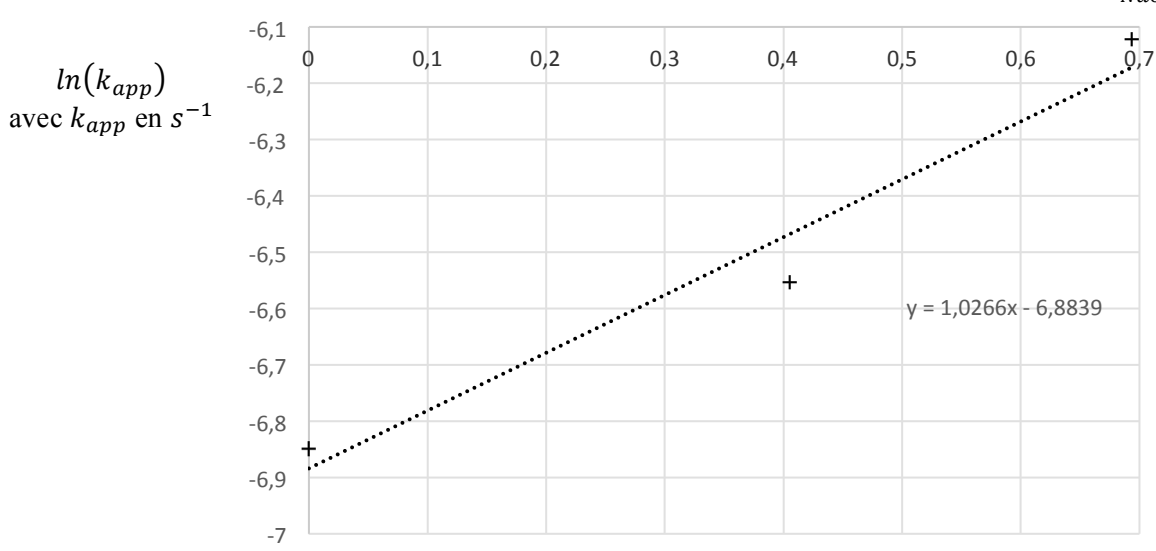
$C_{NaOH}$ (mol. $L^{-1}$ )	1,00	1,50	2,00
$k_{app} (s^{-1})$	$1,06.10^{-3}$	$1,43.10^{-3}$	$2,19.10^{-3}$

Détermination de l'ordre partiel par rapport aux ions hydroxyde

$$k_{app} = k_1 [HO^{\ominus}]_0^{\beta}$$
 soit  $ln(k_{app}) = ln(k_1) + \beta ln([HO^{\ominus}]_0)$ 

Tracé de 
$$ln(k_{app}) = f(ln([HO^{\ominus}]_0))$$

 $ln(C_{NaOH})$  avec  $C_{NaOH}$  en  $mol. L^{-1}$ 



Ordre partiel par rapport aux ions hydroxyde :  $\beta = 1$ 

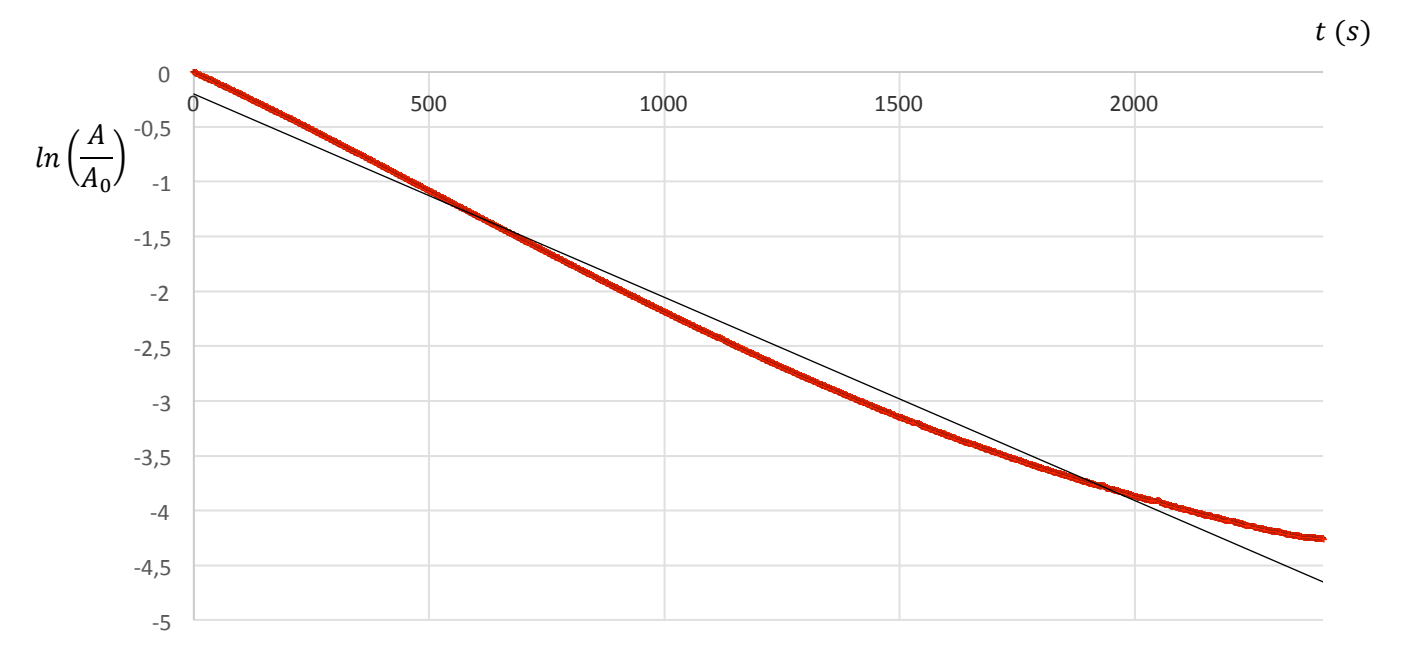
Constante de vitesse  $k_1$ :  $ln(k_1) = -6.88$  avec k en  $L. mol^{-1}. s^{-1}$ 

 $k_1 = 1,02.10^{-3} L.mol^{-1}.s^{-1}$ 

<b>Q18.</b> Compléter le NoteBook pour montrer que la avec les données expérimentales, parmi les ordre	'ordre partiel 1 par rappo s 0, 1 ou 2.	rt à BBP <sup>2–</sup> est l'ordre le	e plus compatible
	22		

**Q19.** Montrer que, pour une expérience longue, lorsque la concentration des produits est notable devant celle des réactifs, la réaction retour n'est plus négligeable.

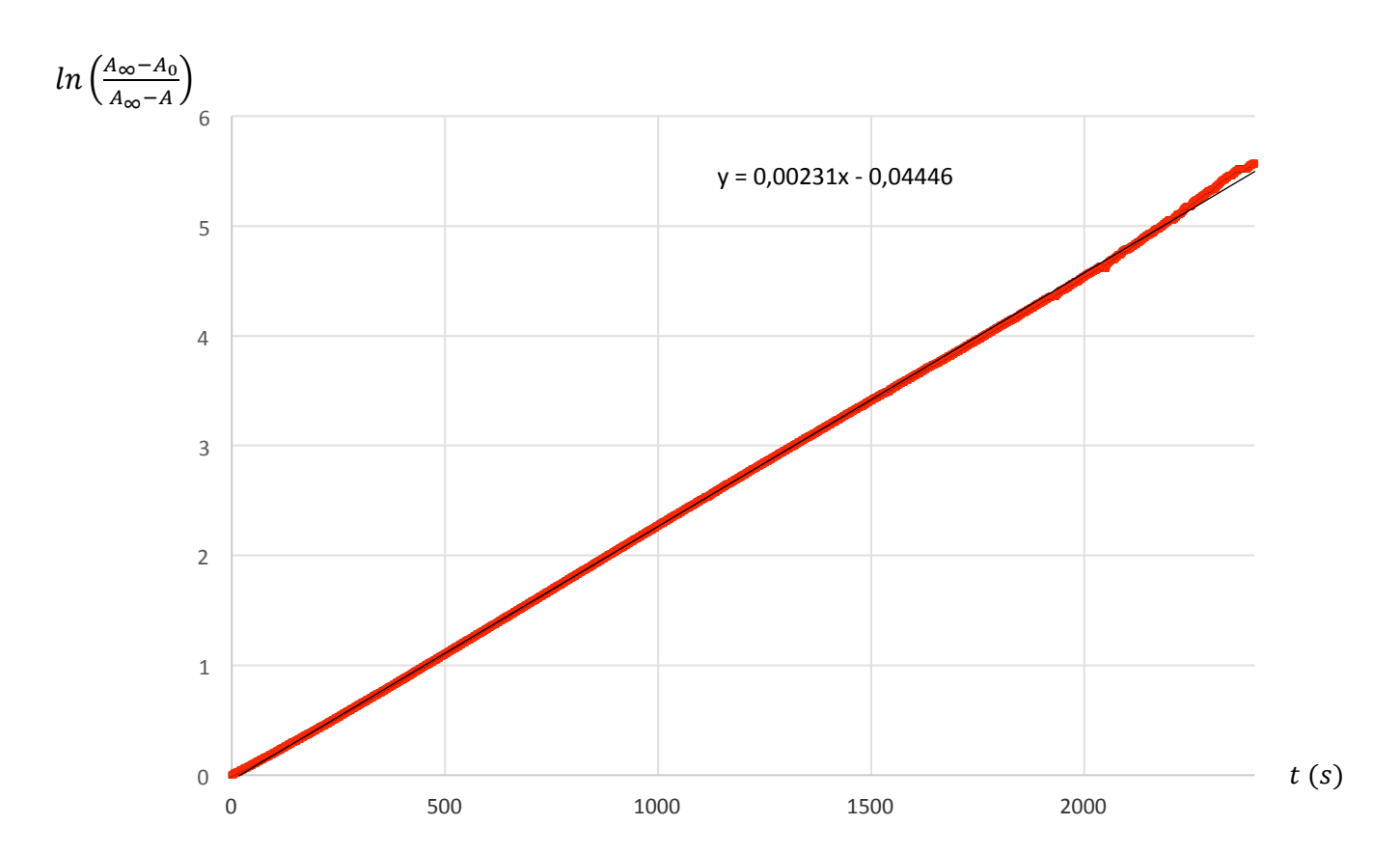
Pour une concentration initiale en hydroxyde de sodium  $C_{NaOH} = 2,00 \text{ mol. } L^{-1}$ Durée de la manipulation : 2400 s



Sur des temps longs, lorsque la concentration des produits est notable devant celle des réactifs, la réaction retour n'est plus négligeable.

**Q20.** Montrer qu'un ordre partiel 1 par rapport à  $BBP^{2-}$  et qu'un ordre partiel 1 par rapport à  $BBPOH^{3-}$  sont compatibles avec les données expérimentales. Déterminer la constante cinétique  $k_2$ .

Pour une concentration initiale en hydroxyde de sodium  $C_{NaOH} = 2,00 \text{ mol. } L^{-1}$ Durée de la manipulation : 2400 s  $A_{\infty} = 0,007$ 



On vérifie que la réaction retour est bien d'ordre 1 par rapport à BBPOH<sup>3-</sup>

Pour 
$$C_{NaOH} = 2,00 \text{ mol. } L^{-1}$$
, à 25°C,

$$k_{app} = 2,19.10^{-3} \, s^{-1}$$

$$k_{ann} + k_2 = 2{,}31.10^{-3} \,\mathrm{s}^{-1}$$

soit 
$$k_2 = 1, 2. 10^{-4} s^{-1}$$

## **Conclusion**

$$\alpha = 1$$

$$\beta = 1$$

$$\gamma = 1$$

$$k_1 = 1,02.10^{-3} L.mol^{-1}.s^{-1}$$

$$k_2 = 1, 2. 10^{-4} s^{-1}$$

On vérifie *a posteriori* que  $k_1c^{\circ} \gg k_2$